

Starkniederschlagshöhen und -spenden gemäß KOSTRA-DWD-2020

Rasterfeld 144118

(Zeile 144, Spalte 118)

Regenspende und Bemessungsniederschlagswerte in Abhängigkeit von Wiederkehrzeit T und Dauerstufe D

| Dauerstufe D | | Wiederkehrzeit T | | | | | | | | | | | | | | | | | |
|--------------|-----|------------------|------------|------|------------|------|------------|-------|------------|-------|------------|-------|------------|-------|------------|-------|------------|-------|------------|
| | | 1 a | | 2 a | | 3 a | | 5 a | | 10 a | | 20 a | | 30 a | | 50 a | | 100 a | |
| min | Std | mm | l / (s ha) | mm | l / (s ha) | mm | l / (s ha) | mm | l / (s ha) | mm | l / (s ha) | mm | l / (s ha) | mm | l / (s ha) | mm | l / (s ha) | mm | l / (s ha) |
| 5 | | 6,4 | 213,3 | 7,7 | 256,7 | 8,5 | 283,3 | 9,6 | 320,0 | 11,2 | 373,3 | 12,9 | 430,0 | 13,9 | 463,3 | 15,3 | 510,0 | 17,3 | 576,7 |
| 10 | | 8,2 | 136,7 | 10,0 | 166,7 | 11,0 | 183,3 | 12,5 | 208,3 | 14,5 | 241,7 | 16,6 | 276,7 | 18,0 | 300,0 | 19,8 | 330,0 | 22,4 | 373,3 |
| 15 | | 9,4 | 104,4 | 11,5 | 127,8 | 12,7 | 141,1 | 14,3 | 158,9 | 16,7 | 185,6 | 19,1 | 212,2 | 20,7 | 230,0 | 22,8 | 253,3 | 25,7 | 285,6 |
| 20 | | 10,4 | 86,7 | 12,6 | 105,0 | 14,0 | 116,7 | 15,8 | 131,7 | 18,3 | 152,5 | 21,0 | 175,0 | 22,8 | 190,0 | 25,0 | 208,3 | 28,3 | 235,8 |
| 30 | | 11,9 | 66,1 | 14,4 | 80,0 | 15,9 | 88,3 | 18,0 | 100,0 | 20,9 | 116,1 | 24,0 | 133,3 | 26,0 | 144,4 | 28,6 | 158,9 | 32,3 | 179,4 |
| 45 | | 13,5 | 50,0 | 16,4 | 60,7 | 18,2 | 67,4 | 20,5 | 75,9 | 23,8 | 88,1 | 27,3 | 101,1 | 29,6 | 109,6 | 32,5 | 120,4 | 36,8 | 136,3 |
| 60 | 1 | 14,8 | 41,1 | 17,9 | 49,7 | 19,9 | 55,3 | 22,4 | 62,2 | 26,1 | 72,5 | 29,9 | 83,1 | 32,4 | 90,0 | 35,6 | 98,9 | 40,3 | 111,9 |
| 90 | 1,5 | 16,8 | 31,1 | 20,4 | 37,8 | 22,6 | 41,9 | 25,5 | 47,2 | 29,7 | 55,0 | 34,0 | 63,0 | 36,8 | 68,1 | 40,5 | 75,0 | 45,8 | 84,8 |
| 120 | 2 | 18,4 | 25,6 | 22,3 | 31,0 | 24,7 | 34,3 | 27,9 | 38,8 | 32,4 | 45,0 | 37,2 | 51,7 | 40,2 | 55,8 | 44,3 | 61,5 | 50,1 | 69,6 |
| 180 | 3 | 20,9 | 19,4 | 25,3 | 23,4 | 28,0 | 25,9 | 31,6 | 29,3 | 36,8 | 34,1 | 42,1 | 39,0 | 45,6 | 42,2 | 50,2 | 46,5 | 56,8 | 52,6 |
| 240 | 4 | 22,8 | 15,8 | 27,6 | 19,2 | 30,6 | 21,3 | 34,6 | 24,0 | 40,2 | 27,9 | 46,1 | 32,0 | 49,9 | 34,7 | 54,9 | 38,1 | 62,1 | 43,1 |
| 360 | 6 | 25,8 | 11,9 | 31,3 | 14,5 | 34,7 | 16,1 | 39,2 | 18,1 | 45,6 | 21,1 | 52,2 | 24,2 | 56,5 | 26,2 | 62,2 | 28,8 | 70,4 | 32,6 |
| 540 | 9 | 29,3 | 9,0 | 35,5 | 11,0 | 39,3 | 12,1 | 44,4 | 13,7 | 51,7 | 16,0 | 59,2 | 18,3 | 64,1 | 19,8 | 70,5 | 21,8 | 79,7 | 24,6 |
| 720 | 12 | 32,0 | 7,4 | 38,8 | 9,0 | 43,0 | 10,0 | 48,5 | 11,2 | 56,4 | 13,1 | 64,6 | 15,0 | 70,0 | 16,2 | 77,0 | 17,8 | 87,1 | 20,2 |
| 1080 | 18 | 36,2 | 5,6 | 43,9 | 6,8 | 48,7 | 7,5 | 54,9 | 8,5 | 63,9 | 9,9 | 73,2 | 11,3 | 79,3 | 12,2 | 87,3 | 13,5 | 98,7 | 15,2 |
| 1440 | 24 | 39,6 | 4,6 | 48,0 | 5,6 | 53,2 | 6,2 | 60,0 | 6,9 | 69,9 | 8,1 | 80,0 | 9,3 | 86,6 | 10,0 | 95,4 | 11,0 | 107,8 | 12,5 |
| 2880 | 48 | 49,0 | 2,8 | 59,4 | 3,4 | 65,8 | 3,8 | 74,3 | 4,3 | 86,5 | 5,0 | 99,0 | 5,7 | 107,2 | 6,2 | 118,0 | 6,8 | 133,4 | 7,7 |
| 4320 | 72 | 55,5 | 2,1 | 67,3 | 2,6 | 74,6 | 2,9 | 84,1 | 3,2 | 97,9 | 3,8 | 112,2 | 4,3 | 121,5 | 4,7 | 133,7 | 5,2 | 151,2 | 5,8 |
| 5760 | 96 | 60,6 | 1,8 | 73,5 | 2,1 | 81,5 | 2,4 | 91,9 | 2,7 | 107,0 | 3,1 | 122,5 | 3,5 | 132,7 | 3,8 | 146,0 | 4,2 | 165,1 | 4,8 |
| 7200 | 120 | 64,9 | 1,5 | 78,7 | 1,8 | 87,2 | 2,0 | 98,4 | 2,3 | 114,6 | 2,7 | 131,2 | 3,0 | 142,1 | 3,3 | 156,4 | 3,6 | 176,9 | 4,1 |
| 8640 | 144 | 68,7 | 1,3 | 83,3 | 1,6 | 92,3 | 1,8 | 104,1 | 2,0 | 121,2 | 2,3 | 138,8 | 2,7 | 150,3 | 2,9 | 165,4 | 3,2 | 187,0 | 3,6 |
| 10080 | 168 | 72,0 | 1,2 | 87,3 | 1,4 | 96,7 | 1,6 | 109,2 | 1,8 | 127,1 | 2,1 | 145,5 | 2,4 | 157,6 | 2,6 | 173,4 | 2,9 | 196,1 | 3,2 |

Starkniederschlagshöhen und -spenden gemäß KOSTRA-DWD-2020

Rasterfeld 144118

(Zeile 144, Spalte 118)

Örtliche Unsicherheiten in Abhängigkeit von Wiederkehrzeit T und Dauerstufe D

| Dauerstufe D | | Wiederkehrzeit T | | | | | | | | |
|--------------|-----|------------------|-----|-----|-----|------|------|------|------|-------|
| | | 1 a | 2 a | 3 a | 5 a | 10 a | 20 a | 30 a | 50 a | 100 a |
| min | Std | ± % | ± % | ± % | ± % | ± % | ± % | ± % | ± % | ± % |
| 5 | | 15 | 16 | 17 | 18 | 19 | 20 | 20 | 20 | 21 |
| 10 | | 17 | 19 | 20 | 21 | 22 | 23 | 23 | 23 | 24 |
| 15 | | 18 | 20 | 21 | 22 | 23 | 23 | 24 | 24 | 25 |
| 20 | | 18 | 20 | 21 | 22 | 23 | 24 | 24 | 24 | 25 |
| 30 | | 18 | 20 | 21 | 22 | 23 | 23 | 24 | 24 | 25 |
| 45 | | 17 | 19 | 20 | 21 | 22 | 23 | 23 | 23 | 24 |
| 60 | 1 | 16 | 18 | 19 | 20 | 21 | 22 | 22 | 23 | 23 |
| 90 | 1,5 | 15 | 17 | 18 | 19 | 20 | 20 | 21 | 21 | 22 |
| 120 | 2 | 14 | 16 | 17 | 18 | 19 | 19 | 20 | 20 | 21 |
| 180 | 3 | 12 | 14 | 15 | 16 | 17 | 18 | 18 | 19 | 19 |
| 240 | 4 | 11 | 13 | 14 | 15 | 16 | 17 | 17 | 18 | 18 |
| 360 | 6 | 10 | 12 | 13 | 13 | 14 | 15 | 16 | 16 | 17 |
| 540 | 9 | 9 | 10 | 11 | 12 | 13 | 14 | 14 | 15 | 15 |
| 720 | 12 | 8 | 10 | 10 | 11 | 12 | 13 | 13 | 14 | 14 |
| 1080 | 18 | 8 | 9 | 9 | 10 | 11 | 12 | 12 | 12 | 13 |
| 1440 | 24 | 8 | 8 | 9 | 9 | 10 | 11 | 11 | 12 | 12 |
| 2880 | 48 | 9 | 8 | 8 | 9 | 9 | 10 | 10 | 10 | 11 |
| 4320 | 72 | 10 | 9 | 9 | 9 | 9 | 9 | 10 | 10 | 10 |
| 5760 | 96 | 11 | 10 | 10 | 10 | 10 | 10 | 10 | 10 | 10 |
| 7200 | 120 | 12 | 11 | 10 | 10 | 10 | 10 | 10 | 10 | 10 |
| 8640 | 144 | 12 | 11 | 11 | 11 | 10 | 10 | 10 | 10 | 11 |
| 10080 | 168 | 13 | 12 | 11 | 11 | 11 | 11 | 11 | 11 | 11 |

Parameter für abweichende T und D

Lokationsparameter ξ (Xi)

14,92731614

Skalenparameter α (Alpha)

4,39918893

Formparameter κ (Kappa)

-0,1

1. Koutsoyiannis-Parameter θ (Theta)

0,0113495

2. Koutsoyiannis-Parameter η (Eta)

0,69273299

Parameter für dauerstufenübergreifende Extremwertschätzung nach KOUTSOYIANNIS et al. 1998.

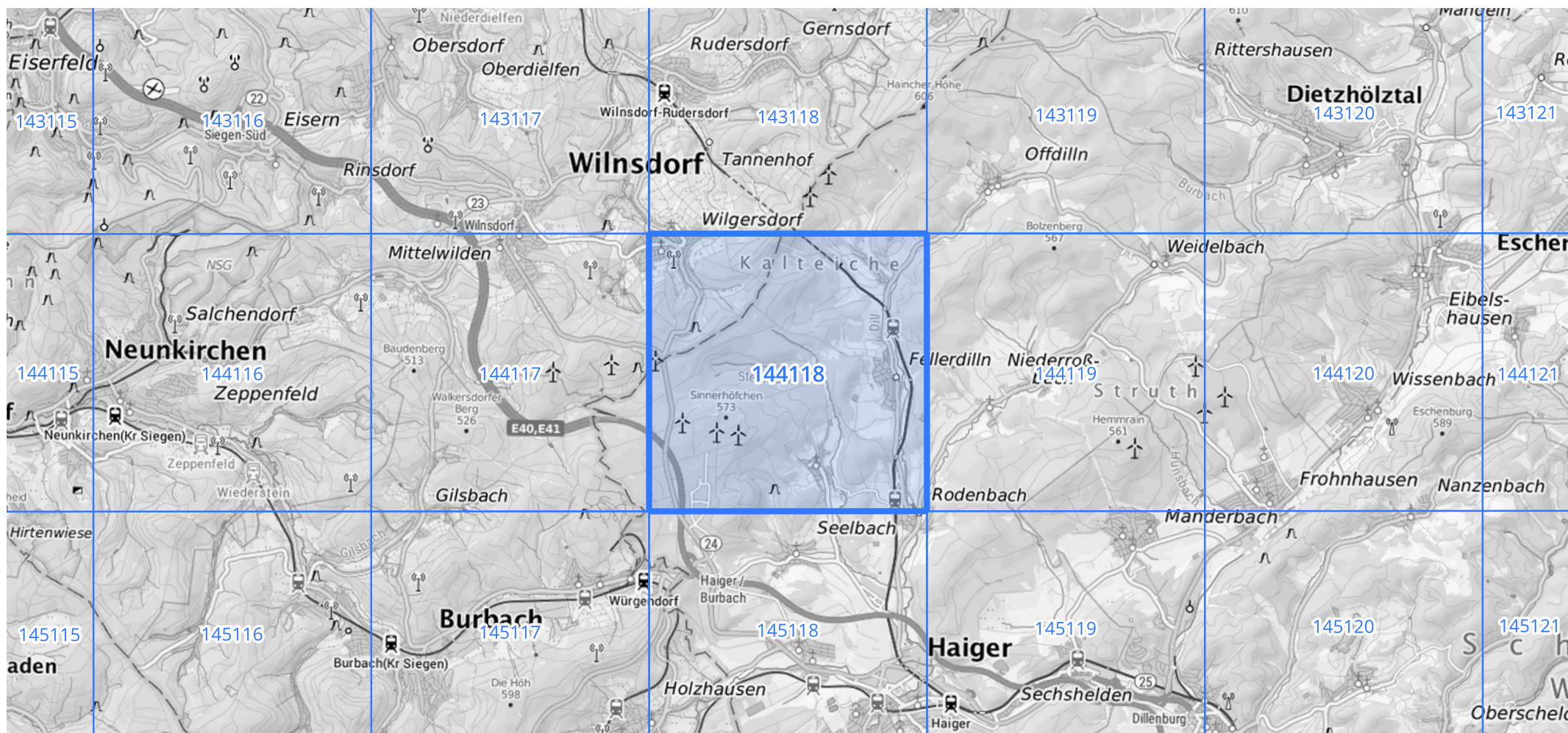
Siehe auch Anwendungshilfe zu KOSTRA-DWD-2020 des Deutschen Wetterdienstes.

Starkniederschlagshöhen und -spenden gemäß KOSTRA-DWD-2020

Rasterfeld 144118

(Zeile 144, Spalte 118)

Übersichtskarte des Rasterfeldes 144118, M 1 : 100 000



Quelle Rasterdaten: KOSTRA-DWD-2020 des Deutschen Wetterdienstes, Stand 12/2022.

Seite 3 von 3

Kartendarstellung: © Bundesamt für Kartographie und Geodäsie (2023), Datenquellen: https://sgx.geodatenzentrum.de/web_public/gdz/datenquellen/Datenquellen_TopPlusOpen.html

Für die Richtigkeit und Aktualität der Angaben wird keine Gewähr übernommen. Erstellt 01/2023.